

A - 45

**ОБЪЕДИНЕННЫЙ ИНСТИТУТ ЯДЕРНЫХ ИССЛЕДОВАНИЙ**

1 - 12246

**АЛАДАШВИЛИ  
Бикенти Сосоевич**

**ФРАГМЕНТАЦИЯ ДЕЙТРОНА,  
ВЗАИМОДЕЙСТВИЕ НУКЛОНОВ  
В КОНЕЧНОМ СОСТОЯНИИ  
И ИЗОБАРНЫЕ ЭФФЕКТЫ В  $d\bar{p}$ -СТОЛКНОВЕНИЯХ  
ПРИ ИМПУЛЬСЕ 3,3 ГэВ/с**

Специальность: 01.04.01 - экспериментальная физика

Автореферат диссертации на соискание ученой степени  
кандидата физико-математических наук

(Диссертация написана на русском языке)

Дубна 1979

Работа выполнена в Лаборатории высоких энергий Объединенного института ядерных исследований и в Проблемной лаборатории ядерной физики высоких энергий Тбилисского государственного университета.

Научные руководители:

доктор физико-математических наук  
старший научный сотрудник

Виктор Викторович  
Глаголев,

кандидат физико-математических наук  
младший научный сотрудник

Михаил Сергеевич  
Ниорадзе.

Официальные оппоненты:

доктор физико-математических наук  
профессор

Владилен Сергеевич  
Барашенков,

доктор физико-математических наук  
младший научный сотрудник

Леонид Николаевич  
Струнов.

Ведущее научно-исследовательское учреждение:

Физический институт им. П.Н.Лебедева АН СССР, г.Москва.

Автореферат разослан "\_\_\_" 1979 г. Защита диссертации состоится "\_\_\_" 1979 г. в \_\_\_ час. на заседании Специализированного совета Д-047.01.02 при Лаборатории высоких энергий Объединенного института ядерных исследований, г.Дубна, Московской области, Лаборатория высоких энергий ОИЯИ, конференц-зал.

С диссертацией можно ознакомиться в библиотеке ЛВЭ ОИЯИ.

Ученый секретарь Совета  
кандидат физико-математических наук

*Лихачев* М.Ф.Лихачев

Актуальность проблемы. В настоящее время одним из наиболее интенсивно развивающихся разделов физики является релятивистская ядерная физика. Начиная с 1971 г., на ряде ускорителей мира, в том числе и на синхрофазотроне ЛВЭ ОИЯИ, были созданы интенсивные пучки релятивистских ядер. При исследовании реакций столкновения адронов с ядрами можно получить сведения не только о механизме самих этих реакций и структуре ядра, но и об элементарных процессах (в частности, о спиновой структуре элементарных амплитуд). Оказывается возможным изучать и взаимодействия нестабильных частиц с нуклонами ядра. Время жизни нестабильных частиц порядка ядерных. Поэтому пучки таких частиц принципиально не могут быть созданы, и единственной возможностью их изучения является наблюдение эффектов, связанных с их рождением в промежуточном (виртуальном) состоянии и последующим взаимодействием с нуклонами ядра.

Можно также надеяться, что исследование столкновений релятивистских ядер с большими передачами импульса даст ценную информацию о кварковой структуре ядра. Особенно важно в этой связи исследование простейшего ядра-дейтрана. Этот случай легче поддается теоретической интерпретации. Первым шагом на пути к этой цели является исследование перехода между двумя предельными случаями, когда два нуклона воспринимают передаваемый импульс по отдельности и когда импульс передается двум нуклонам. От выделения случаев, в которых два нуклона дейтрана играют активную роль, до возможной интерпретации столкновений на языке кварковых моделей еще далеко. Для проверки справедливости различных моделей и выделения интересующих эффектов необходима разнообразная экспериментальная информация о больших передачах импульса двухнуклонной системе.

Цель работы состояла в изучении следующего круга вопросов в  $d\bar{p}$ -столкновениях при 3,3 ГэВ/с:



1. Выделение области, где в реакции участвуют оба нуклона дейтрона, с помощью исследования инвариантных одночастичных распределений  $\frac{f(t)}{t} = \frac{1}{\epsilon_{tot}} P^{-1} d\sigma/dt$  для инклюзивных протонов и заряженных  $\pi$ -мезонов.

2. Анализ импульсных и угловых распределений нуклонов-спектаторов на основе спектаторной модели.

3. Взаимодействие нуклонов в конечном состоянии в реакции разрыва  $d\rho \rightarrow p\rho n$ .

4. Спиновые эффекты в  $p\rho \rightarrow p\rho$  -перезарядке.

5. Эффекты, связанные с  $\Delta$ -резонансом в промежуточном состоянии.

Новизна работы. К моменту начала наших исследований это был первый в мире эксперимент в пучке релятивистских дейтронов на водородной пузырьковой камере. Использование в качестве мишени водородной пузырьковой камеры дало нам возможность впервые исследовать практически без потерь все основные реакции, в том числе и с одной нейтральной частицей в конечном состоянии (например,  $d\rho \rightarrow p\rho n$  и др.). Получены полные спектры по инвариантным одночастичным переменным  $\frac{f(t)}{t}$  – для инклюзивных протонов и заряженных  $\pi$ -мезонов, импульсные и угловые спектры нуклонов-спектаторов, оценен вклад спин-зависимого взаимодействия в сечении  $p\rho \rightarrow p\rho$  перезарядки при  $|t|=0$  ( $t$  – переданный 4-импульс). Детально исследовано взаимодействие нуклонов в конечном состоянии для  $p\rho$ -систем в  $^3S_1$ -волне в реакции прямого разрыва  $d\rho \rightarrow (p\rho)p$  и для  $p\rho$ -систем в  $^1S_0$ -волне в реакции перезарядки  $d\rho \rightarrow (p\rho)n$  (перезарядкой называется процесс, идущий с обменом зарядом между налетающей частицей и мишенью). Оценен вклад механизма с  $\Delta$ -изобарой в промежуточном состоянии в реакции перезарядки  $d\rho \rightarrow (p\rho)n$ .

Научная ценность работы. Получен большой экспериментальный материал по  $d\rho$ -взаимодействиям (~50 000 событий). Эксклюзивная постановка опыта позволила нам детально изучить механизм ряда реакций:  $d\rho \rightarrow (p\rho)p$ ,  $d\rho \rightarrow (p\rho)n$ ,  $d\rho \rightarrow d\rho \pi^+ \pi^-$ ,  $d\rho \rightarrow d\rho \pi^+ n$ , а также выделить механизм такого экзотического процесса, как рождение  $\Delta$ -резонанса в виртуальном состоянии с последующим взаимодействием с нуклонами ядра.

Наличие пучка релятивистских дейтронов дало возможность оценить вклад спин-зависимого взаимодействия в сечение перезарядки  $p\rho \rightarrow p\rho$  при  $|t|=0$ , что очень затруднено в экспериментах по нуклон-нуклонному рассеянию.

Полученные экспериментальные результаты по  $d\rho$ -взаимодействию стимулируют развитие новых теоретических представлений.

Практическая ценность работы. Результаты, полученные в данной работе, могут быть использованы при проектировании новых экспериментов по физике высоких энергий, а также для анализа опытов с более сложными ядрами.

Апробация работы. Основные результаты работы представлялись на международной конференции по физике высоких энергий в Палермо (1975 г.), на У международном симпозиуме по физике высоких энергий и элементарных частиц в Варшаве (1975 г.), на У международной конференции по физике высоких энергий и структуре ядра в Санта-Фе и Лос-Аламосе (1975 г.) на КШ международной конференции по физике высоких энергий в Тбилиси (1976 г.), на всесоюзном проблемном семинаре в Ташкенте (1978 г.).

Публикация. Основное содержание работы опубликовано в 9 статьях в журналах: "Ядерная физика", "Nuclear Physics", "Nucl. Instr. and Meth.", "J. Phys. G: Nucl. Phys.", "Acta Phys. Pol." и в виде препринтов ОИЯИ.

Объем диссертации. Текст состоит из введения, четырех глав и заключения. Диссертация содержит 125 страниц, включая 10 таблиц и 46 рисунков. Список литературы насчитывает 105 наименований.

Автор защищает:

1. Проделанную работу по получению экспериментального материала, содержащего 50 000 событий  $d\rho$ -взаимодействий при 3,3 ГэВ/с.

2. Результаты исследования инвариантных одночастичных распределений  $\frac{f(t)}{t}$  для инклюзивных протонов и  $\pi^+$ -мезонов.

3. Результаты анализа импульсных и угловых распределений нуклонов-спектаторов в различных реакциях.

4. Результаты детального исследования взаимодействия нуклонов в конечном состоянии в реакциях прямого разрыва  $d\rho \rightarrow (p\rho)p$  и перезарядки  $d\rho \rightarrow (p\rho)n$ .

5. Результаты анализа по оценке вклада спин-зависимого взаимодействия в сечение перезарядки  $p\rho \rightarrow p\rho$  при  $|t|=0$ .

6. Результаты исследования по оценке вклада механизма с  $\Delta$ -изобарой в промежуточном состоянии в реакции перезарядки  $d\rho \rightarrow (pp)n$ .

#### Содержание диссертации.

Во введении подчеркивается актуальность изучения адрон-ядерных взаимодействий при высоких энергиях и особенности работы в пучках релятивистских ядер, а также сформулирована цель диссертационной работы.

В первой главе описывается методика  $d\rho$ -эксперимента<sup>/1,2/</sup>.

Экспериментальный материал был получен с помощью однометровой водородной пузырьковой камеры, облученной дейtronами импульса 3,3 ГэВ/с на синхрофазотроне ЛВЭ ОИЯИ. Кратко описана однометровая водородная пузырьковая камера, канал положительных частиц для транспортировки пучка дейtronов, схема обработки стереоснимков, точности измерения и вопросы суммирования результатов.

Просмотр и измерение событий проводились в Дубне и Варшаве. События в Дубне измерялись на полуавтоматах типа ПУОС и на НРД ЛВТА, а в Варшаве на специальных микроскопах. Обработка событий велась по системе программ: TIKESH - GRIND-SLICE-SUMX, разработанных в CERN и адаптированных к условиям эксперимента.

Особо следует подчеркнуть, что примененная методика облучения водородной камеры дейtronами имеет ряд преимуществ по сравнению с вариантом облучения дейтериевой камеры протонами. Она позволяет наблюдать и измерять практически без потерь протоны - спектаторы, которые в нашей постановке опыта являются быстрыми частицами и хорошо видны в камере.

Во второй главе приведены результаты экспериментального исследования инвариантных одночастичных распределений для инклюзивных протонов и  $\pi^\pm$ -мезонов, импульсных и угловых распределений спектаторов в различных каналах и спиновых эффектов в реакции  $p\bar{p} \rightarrow p\bar{p}$  перезарядки при  $|t|=0$ .

В § 2.1 изучаются инвариантные одночастичные распределения с целью выделения области, где в реакции активно участвуют оба нуклона дейтрана<sup>/3/</sup>.

Инвариантные одночастичные распределения для реакции  $I+II = 1 + \dots$  представлены как функции переменной  $b_{11} = (P_1 P_2)/m_t - m_1$ , которая тождественна кинетической энергии частицы 1 в системе покоя ядра I.

Были исследованы реакции:

$$d\rho \rightarrow ppn \quad b = 37.2 \pm 1.4 \quad , \quad (1)$$

$$d\rho \rightarrow pp\pi^0 \quad b = 11.2 \pm 0.4 \quad , \quad (2)$$

$$d\rho \rightarrow p\pi^+ n \quad b = 17.0 \pm 0.6 \quad , \quad (3)$$

$$d\rho \rightarrow p\bar{p}\pi^- \quad b = 2.2 \pm 0.2 \quad , \quad (4)$$

которые в сумме составляют около 96% сечения неупругих  $d\rho$ -взаимодействий. Структурные функции  $f(T) = b_{tot}^{-1} T^{-1} d\sigma/dT$  приводятся для трех равных интервалов по косинусу угла частиц, вылетающих в заднюю полусферу в системе покоя дейтрана. Приводятся также суммарные распределения.

На рис. I представлены данные для инклюзивных протонов. Сплошные линии - аппроксимация результатов зависимостью  $f(T) = A_1 \cdot \exp(-A_2 T) + A_3 \cdot \exp(-A_4 T)$ . Переход распределений в области  $b_{11} = T \sim 0,03$  ГэВ к другому наклону указывает на наличие двух областей, соответствующих, возможно, различным механизмам. Первая экспонента с большими значениями параметров  $A_1$  и  $A_2$  соответствует области, которая обусловлена особенностями ядра как слабо связанный системы, когда в передаче импульса активно участвует один из нуклонов дейтрана. Область же больших  $b_{11}$  может соответствовать механизмам, в которых активно участвуют в реакции оба нуклона дейтрана.

Далее подробно исследуется как область малых  $b_{11}$ , так и область больших  $b_{11}$ . Обсуждаются те механизмы, которые дают наибольший вклад в этих областях.

В § 2.2 и 2.3 экспериментальные импульсные и угловые распределения спектаторов сравниваются с предсказаниями спектаторной модели<sup>/4/</sup>.

Рассмотрены следующие реакции

$$d\rho \rightarrow p\bar{p}\pi^- \quad (5)$$

$$d\rho \rightarrow p\bar{p}\pi^+\pi^- \quad (6)$$

$$d\rho \rightarrow n\bar{n}\pi^+ \quad (7)$$

Исследования показали, что экспериментальные импульсные распределения спектаторов до 200 МэВ/с в изучаемых реакциях удовлетворительно описываются волновой функцией Хильтена.

При анализе угловых распределений нуклонов-спектаторов были учтены фактор потока и зависимость сечения квазинуклонного взаимодействия от энергии. Тогда для углового распределения спектаторов имеем:

$$\frac{d\sigma}{d(\cos \theta_s)} = \int_{P_3}^P p^2 |\phi(P_3)|^2 \sigma(s) F(P_3, P_s, \cos \theta_s) dP_3,$$

где  $\phi(P_3)$  – волновая функция дейтрана,  $S$  – квадрат полной энергии в с.п.и. нуклон-нуклон,  $\sigma(s)$  – сечение квазинуклонного процесса при данном  $S$  для соответствующей реакции,  $F(P_3, P_s, \cos \theta_s)$  – фактор потока.

Рис.2 показывает экспериментальные данные по угловым распределениям спектаторов с импульсом меньше 200 МэВ/с для каналов (5)-(7), которые идентифицировались практически однозначно. Кривые 1,2 и 3 соответствуют расчетным угловым распределениям с учетом фактора потока и  $\sigma(s)$ , с учетом только  $\sigma(s)$  и только фактора потока, соответственно.

Видно, что кривые 1 и 2 описывают основные черты экспериментальных угловых распределений. Вклад фактора потока составляет только (4-5)% и основную роль играет  $\sigma(s)$ , поскольку в исследуемой области энергий нуклон-нуклонные сечения сильно зависят от энергии.

Импульсные и угловые распределения спектаторов с импульсами выше 200 МэВ/с не описываются спектаторной моделью. Это обусловлено, главным образом, возрастанием относительного вклада более сложных, неспектаторных эффектов в высокомимпульсную часть спектра самого медленного нуклона (эти эффекты обсуждаются в четвертой главе).

В § 2.4 изучаются двухнуклонные корреляции между ядерными фрагментами при развале дейтрана на протоне мишени<sup>5/2</sup>, то есть в одном из простейших процессов ядерной фрагментации.

На рис.3а показаны распределения  $G_{pp} = M_{pp} - 2M_p$  для пар медленных протонов в системе покоя дейтрана из канала с перезарядкой  $d\Gamma \rightarrow (pp)n$ . Наблюдается узкий максимум при  $Q \approx 0$  МэВ. Максимум связан главным образом с малыми импульсами протона-спектатора ( $P_s < 100$  МэВ/с) и малыми переданными 4-импульсами ( $|t| < 0,1$  (ГэВ/с)<sup>2</sup>). ( $t$  – переданный импульс от протона-мишени к нейтрону).

Картина изменяется, если рассматривать прямой канал (рис.3б). Пик при  $Q_{pn} = M_{pn} - M_p - M_n \approx 0$  МэВ наблюдается для  $P_s > 100$  МэВ/с, тогда как события с малыми импульсами нуклона-спектатора ( $P_s < 100$  МэВ/с) показывают провал при  $Q \approx 0$  МэВ.

Вид экспериментальных распределений  $d\sigma/dt$  для перезарядки и прямого развала показывает совершенно различное поведение в

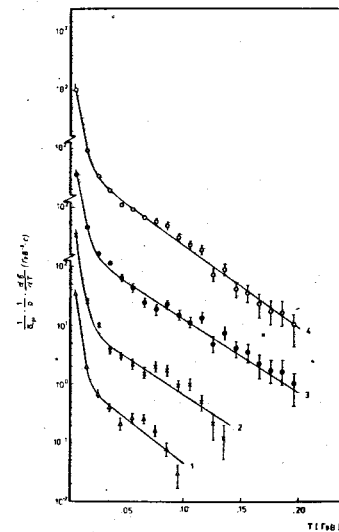


Рис.1.

Инвариантное сечение  $f(T)$  для инклюзивных протонов.

Кривые:

- 1 –  $\cos \theta [-1; -0,667]$ ,
- 2 –  $\cos \theta [-0,667; -0,333]$ ,
- 3 –  $\cos \theta [-0,333; 0]$ ,
- 4 –  $\cos \theta [-1; 0]$ .

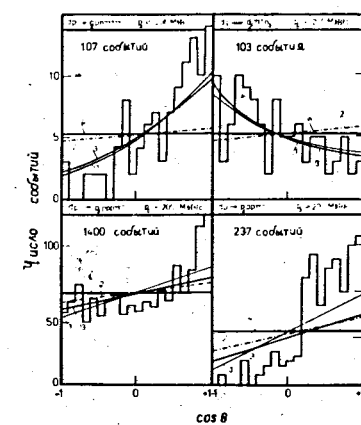


Рис.2.

Угловые распределения нуклонов-спектаторов.

области малых  $|t|$ . Сильный спад и достаточно хорошее согласие с предсказаниями модели Глаубера наблюдается в канале прямого развала, тогда как реакция с перезарядкой показывает значительное расхождение между экспериментом и расчетами по модели Глаубера в пренебрежении спином. Наблюдаемый характер распределений  $d\sigma/dt$  для обеих реакций может быть связан с наличием и отсутствием пика при  $Q \approx 0$  МэВ для малых импульсов спектаторов ( $P_S < 100$  МэВ/с). В канале прямого развала малые  $Q_{pp}$  отсутствуют из-за того, что нейтрон-протонные пары, соответствующие малым значениям  $|t|$  и находящиеся в тройном спиновом состоянии образуют дейtron и переходят в упругий канал. Картина, однако, отличается, если рассматривать процесс перезарядки.

События с малым  $|t|$  соответствуют  $S$ -состоянию двух протонов, которым не разрешено оставаться в тройном спиновом состоянии, если не произойдет зависящее от спина взаимодействие в элементарном  $p\bar{n} \rightarrow p\bar{n}$  процессе. Узкий пик при  $Q_{pp} \approx 0$  МэВ представляет, таким образом, прямое доказательство существования спин-зависимого взаимодействия в элементарном процессе  $p\bar{n} \rightarrow p\bar{n}$  перезарядки.

В связи с этим мы попытались оценить вклад спин-зависимого взаимодействия в сечение  $p\bar{n} \rightarrow p\bar{n}$  перезарядки при  $|t|=0$ .

Хорошо известно, что в рамках теории Глаубера можно получить следующее выражение для дифференциального сечения перезарядки на дейтроне:

$$\frac{d\sigma}{dt} (dp \rightarrow (pp)n) = \left[ (1 - S(t)) \left( \frac{d\sigma}{dt} \right)_1 + \left( 1 - \frac{1}{3} S(t) \right) \left( \frac{d\sigma}{dt} \right)_2 \right] (1 - \Delta), \quad (8)$$

где  $S(t)$  – формфактор дейтрана,  $(\frac{d\sigma}{dt})_1$  и  $(\frac{d\sigma}{dt})_2$  обозначают, соответственно, спин-независимое и спин-зависимое сечение в элементарной  $p\bar{n} \rightarrow p\bar{n}$  перезарядке, а  $\Delta$  – поправка Глаубера, которая при наших энергиях  $\sim (10-15)\%$ .

Как видно из выражения (8), когда  $t \rightarrow 0$ , сечение перезарядки на дейтране полностью определяется зависящей от спина частью сечения элементарного  $p\bar{n} \rightarrow p\bar{n}$  процесса.

Определяя экспериментально  $\frac{d\sigma}{dt} (dp \rightarrow (pp)n)$  при  $|t|=0$ , получаем возможность с использованием формулы (8) оценить спин-зависимое сечение элементарной перезарядки  $p\bar{n} \rightarrow p\bar{n}$  вблизи  $|t|=0$ . Путем сравнения полученного результата с элементарным сечением  $p\bar{n} \rightarrow p\bar{n}$  перезарядки при  $|t|=0$  (оптическая точка) оце-

нен вклад спин-зависимого взаимодействия в сечение  $p\bar{n} \rightarrow p\bar{n}$  перезарядки при  $|t|=0$ , который оказался равным

$$R = \frac{\left( \frac{d\sigma}{dt} \right)^{t=0}_2 (p\bar{n} \rightarrow p\bar{n})}{\left( \frac{d\sigma}{dt} \right)^{t=0}_{tot} (p\bar{n} \rightarrow p\bar{n})} = \frac{\frac{3}{2} \frac{1}{1-\Delta} \left( \frac{d\sigma}{dt} \right)^{t=0} (dp \rightarrow (pp)n)}{\left( \frac{d\sigma}{dt} \right)^{t=0}_{tot} (p\bar{n} \rightarrow p\bar{n})} = \frac{27.8}{49.8} = 0.76 \pm 0.10.$$

В третьей главе в рамках импульсного приближения подробно исследуется взаимодействие нуклонов в конечном состоянии (ВКС) для реакции прямого развала  $d\bar{p} \rightarrow (p\bar{n})p$  [6].

ВКС для  $p\bar{n}$ -систем в  $^3S_1$ -состоянии может привести к рекомбинации дейтрана, т.е. к переходу в канал упругого рассеяния.

Нуклоны рассматривались как нерелятивистские и пренебрегалось  $\Omega$ -состоянием дейтрана. Для представления  $p\bar{n}$ -взаимодействия в  $^3S_1$ -состоянии использовался сепарабельный потенциал Ямагучи. Бралась волновая функция Мак-Ги для дейтрана.

Применялась следующая параметризация для амплитуд  $T_{pp}$  и  $T_{pn}$  при малых  $|t|$ :

$$T = \frac{i\beta(1-i\rho)}{4\sqrt{\pi}} \cdot \exp(-\frac{1}{2}\beta^2|t|),$$

где параметры  $\beta_{pp}$ ,  $\beta_{np}$ ,  $\rho_{pp}$ ,  $\rho_{np}$ ,  $\beta_{pp}^2$ ,  $\beta_{np}^2$  были взяты из существующих экспериментальных данных.

На рис.4 показана асимметрия в распределении по углу  $\alpha$  для двух областей по  $|t|$  ( $\alpha$  – угол между направлением вылета нуклона-спектатора и передачей импульса от налетающего протона к дейтрану). Асимметрия вычислялась следующим образом:

$$A = \frac{N(\alpha < 90^\circ) - N(\alpha > 90^\circ)}{N(\alpha < 90^\circ) + N(\alpha > 90^\circ)}. \quad (9)$$

Теоретические предсказания с учетом ВКС находятся в хорошем согласии с экспериментом в области  $P_S < 200$  МэВ/с. Поведение выше 200 МэВ/с, как уже отмечалось, не очень хорошо описывается, поскольку использование чистой  $S$ -волны в дейтране не дает здесь достаточного числа событий. Для больших  $|t|$  область, где асимметрия становится отличной от нуля, сдвинута к большим  $P_S$ , что хорошо согласуется с теорией.

В четвертой главе изучаются взаимодействие в конечном состоянии в реакции перезарядки  $d\bar{p} \rightarrow (p\bar{n})p$  и изобарные эффекты.

Для прямого развала  $d\bar{p} \rightarrow (p\bar{n})p$  ВКС в синглетном  $^1S_0$ -состоянии мало вероятно, потому что система  $p\bar{n}$  в этом состоянии не является связанный. Однако возможно рассматривать значение ВКС ( $^1S_0$ ) в канале с перезарядкой. Здесь мы имеем в конечном сос-

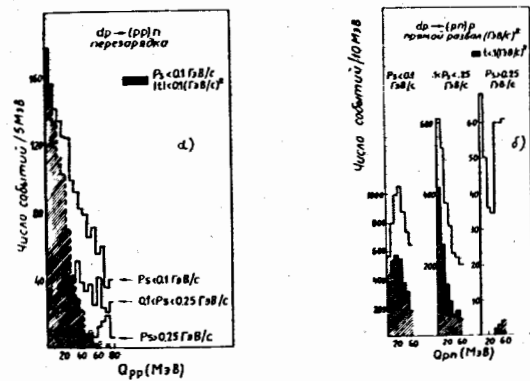


Рис.3.

$Q_{NN} = M_{NN} - 2M_N$  распределения для реакций перезарядки (а) и прямого разрыва (б).

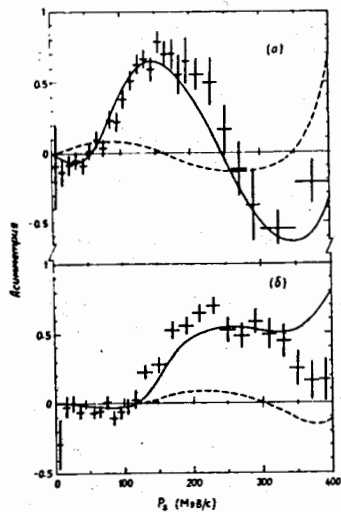


Рис.4.

Асимметрия в угле  $\alpha$  для  $|t| < 0,1 (\text{ГэВ}/\text{с})^2$  (а) и  $0,1 < |t| < 0,4 (\text{ГэВ}/\text{с})^2$  (б). Сплошная кривая получена с учетом ВКС, пунктируя - без учета ВКС.

тояния два медленных протона в состоянии  ${}^1S_0$ , т.е. наблюдаем переход от начального триплетного состояния двух нуклонов (дейтрон) в конечное синглетное состояние. Это может происходить благодаря сильной зависимости амплитуды  $r_{pp} \rightarrow pp$  перезарядки от спина.

Учет этого ВКС ( ${}^1S_0$ ) в импульсном приближении проводился аналогично случаю прямого разрыва<sup>7/</sup>.

Вычислялись дифференциальные сечения  $\frac{d\sigma}{dP_s}$ ,  $\frac{d\sigma}{dt}$ ,  $\frac{d\sigma}{dQ}$ , а также асимметрия в угле  $\alpha$ .

Теоретические расчеты по асимметрии находятся в заметно лучшем согласии с экспериментом, когда ВКС включается.

На рис.5 приведено дифференциальное сечение перезарядки  $\frac{d\sigma}{dt}$ . В теоретическом предсказании (пунктирная кривая) учитывался фактор экранировки. Расчетная кривая идет систематически ниже экспериментальных точек примерно на 25%.  $\sigma_{dp \rightarrow (pp)n} (|t| < 0,3 (\text{ГэВ}/\text{с})^2) = (4,34 \pm 0,09) \text{ мб}$ , тогда как теоретически предсказывается только  $(3,3 \pm 0,2) \text{ мб}$ .

На рис.6 приводится распределение  $\frac{d\sigma}{dQ_{pp}}$  ( $Q_{pp} = M_{pp} - 2M_p$ ) для малых ( $|t| < 0,1 (\text{ГэВ}/\text{с})^2$ ) и средних значений  $|t|$  ( $0,1 < |t| < 0,3 (\text{ГэВ}/\text{с})^2$ ). В области квазипротонного рассеяния наблюдается хорошее согласие с теорией.

Однако в области  $Q \geq 200 \text{ МэВ}$  импульсное приближение с ВКС или без него не дает вклада.

Поэтому мы обсуждаем возможность привлечения иного механизма, такого, например, как возникновение  $\Delta$ -изобары в промежуточном состоянии. На эту мысль нас наталкивает совокупность имеющихся экспериментальных данных, которые обсуждаются в § 4.3.

Исследовалось распределение эффективной массы двух протонов в реакции перезарядки  $d \bar{p} \rightarrow (pp)n$  при малых  $|t|$  и импульсах спектатора, больших, чем  $300 \text{ МэВ}/c$ <sup>8/</sup>. Наблюдалось увеличение при  $(2170 \pm 10) \text{ МэВ}$ , т.е. вблизи суммы масс нуклона и  $\Delta$  с шириной  $\Gamma \sim 50 \text{ МэВ}$ . Положение наблюдаемого увеличения при малых  $|t|$  находит на мысль, что ответственным за эффект может быть обмен легкой частицей между рассеиваемым протоном и дейтроном. Благодаря близости пионного полюса к физической области модель однопионного обмена может быть хорошим приближением для событий с малыми переданными импульсами. Наблюданная форма пика тогда отражает поведение сечения реакции  $\pi^+ d \rightarrow pp$ , которое имеет резонансный характер.

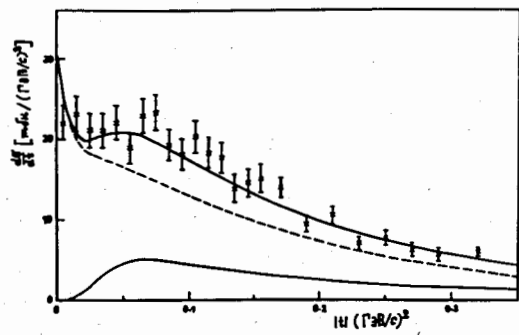


Рис.5.

Дифференциальное сечение  $\frac{d\sigma}{dt}$  для перезарядки.

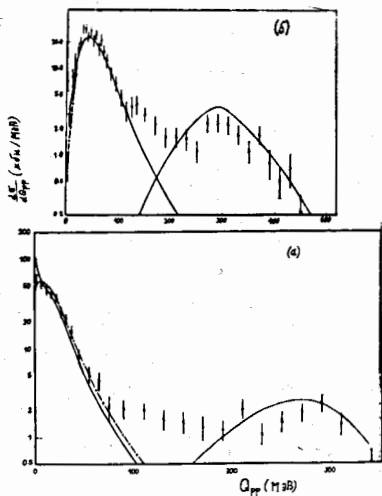


Рис.6.

Дифференциальное сечение  $\frac{d\sigma}{dQ^2}$  для перезарядки:  
 а)  $-|t| < 0,1(\text{ГэВ}/c)^2$ ,  
 б)  $-0,1 < |t| < 0,3(\text{ГэВ}/c)^2$ .

Изучался спектр эффективных масс ( $d\pi^+$ ) в реакциях  $d\rho \rightarrow d\rho\pi^+\pi^-$  и  $d\rho \rightarrow d\pi^+n$ <sup>9/2</sup>. Было показано, что аномалия при массе  $(2151 \pm 5)$  МэВ связана с резонансным характером сечения реакции  $p\rho \rightarrow d\pi^+$ .

С другой стороны, хорошо известно, что в реакции  $\pi^-d \rightarrow p\rho$  (или  $p\rho \rightarrow d\pi^-$ ) при низких энергиях доминирует механизм с виртуальной  $\Delta$ -изобарой.

В § 4.4 излагается модифицированная применительно к нашему эксперименту модель Постера, учитывающая  $\Delta$ -резонанс в промежуточном состоянии. В этой модели, в рамках импульсного приближения, учитывается также диаграмма однопионного обмена между налетающим протоном и дейtronом.

Вклад этого механизма в  $\frac{d\sigma}{dt}$  показан на рис.5 (нижняя сплошная кривая). Предположив, что полученный результат можно складывать некогерентно с расчетами по импульсному приближению, мы видим достаточно хорошее согласие с экспериментом (верхняя сплошная кривая). Хорошо воспроизводятся как форма распределения, так и абсолютная величина дифференциального сечения.

Посредством обсуждаемого механизма также хорошо описывается область больших значений по  $Q_{pp}$  в распределениях  $\frac{d\sigma}{dQ_{pp}}$  (рис.6а, б – правые сплошные кривые).

Таким образом, видно, что в области импульсов спектаторов  $P_3 \gtrsim 300$  МэВ/с доминирует механизм с  $\Delta$ -образованием в промежуточном состоянии.

В заключении сформулированы основные результаты диссертационной работы:

1. При непосредственном участии автора с помощью пузырьковой камеры было получено, обсчитано по системе программ, проидентифицировано, записано на магнитных лентах и проанализировано около 50 000 событий  $d\rho$ -взаимодействий.
2. Получены полные спектры по инвариантному сечению  $f(t)$  для инклюзивных протонов и  $\pi^\pm$ -мезонов, вылетающих в заднюю полусферу в системе покоя дейтрана.
3. Наблюдалось изменение наклона в распределениях инвариантного сечения  $f(t)$  в области  $T \sim 0,03$  ГэВ для протонов и  $\pi$ -мезонов, которое связано с изменением механизма реакции.
4. Установлено, что знак асимметрии в угловых распределениях спектаторов зависит от канала реакции, что качественно согла-

суется с предсказаниями спектаторной модели с учетом фактора потока и энергетической зависимости соответствующего нуклон-нуклонного сечения.

5. Показано, что в области импульсов спектаторов меньше 200 МэВ/с большая асимметрия в угле между переданным импульсом от падающего протона к дейтрону и спектаторным нуклоном в реакции прямого развала  $d\text{p} \rightarrow (\text{pp})\text{p}$  может быть объяснена взаимодействием в конечном состоянии между нейтроном и протоном в тройном  $^3S_1$  состоянии.

6. Полученная в той же области импульсов спектаторов небольшая асимметрия в распределении по углу между направлением вылета нуклона-спектатора и переданным импульсом от налетающего протона к дейтрону, а также форма пика в распределении по  $Q_{\text{pp}}$  ( $Q_{\text{pp}} = M_{\text{pp}} - 2M_p$ ) в районе 40 МэВ для реакции перезарядки  $d\text{p} \rightarrow (\text{pp})n$  качественно описывается при учете взаимодействия в конечном состоянии двумя протонами в синглетном  $^1S_0$ -состоянии.

7. Показано, что узкий пик при  $Q_{\text{pp}} \approx 0$  МэВ в области малых импульсов спектаторов ( $P_s < 0,1 \text{ ГэВ/с}$ ) и малых  $|t|$  ( $|t| < 0,1 \text{ (ГэВ/с)}^2$ ) в реакции перезарядки  $d\text{p} \rightarrow (\text{pp})n$  обусловлен спин-зависимым взаимодействием в элементарном процессе  $\text{pn} \rightarrow \text{np}$  перезарядки.

8. Оценен вклад спин-зависимого взаимодействия в сечении перезарядки  $\text{pn} \rightarrow \text{np}$  при  $|t|=0$ , который оказался равным  $(76 \pm 10)\%$ .

9. Расчеты в импульсном приближении с ВКС не объясняют поведения экспериментальных распределений по  $P_s$  и  $Q_{\text{pp}}$  в области больших значений этих величин, а по  $|t|$  во всей области.

10. Для объяснения совокупности экспериментальных данных оказалось необходимым привлечь механизм с учетом  $\Delta$ -изобары в промежуточном состоянии.

II. Оценен вклад механизма с  $\Delta$ -изобарой в промежуточном состоянии в сечении реакции перезарядки  $d\text{p} \rightarrow (\text{pp})n$ . Этот вклад составляет  $\sim 20\%$ .

Основные результаты опубликованы в следующих работах:

1. Б.С.Аладашвили и др., Препринт ОИЯИ, 1-7645, Дубна, 1973.
2. B.S.Aladashvili et al., Nucl. Instr. and Meth., 129, 109, 1975.
3. Б.С.Аладашвили и др., ЯФ, 27, 704, 1978.

4. B.S.Aladashvili et al., Preprint JINR, E1-9814, Dubna, 1976.
5. B.S.Aladashvili et al., Acta Phys. Pol., B7, 707, 1976.
6. B.S.Aladashvili et al., J. Phys. G: Nucl. Phys., 3, 7, 1977.
7. B.S.Aladashvili et al., J. Phys. G: Nucl. Phys., 3, 1225, 1977.
8. B.S.Aladashvili et al., Nucl. Phys., A274, 486, 1976.
9. B.S.Aladashvili et al., Preprint JINR, E1-8870, Dubna, 1975.

Рукопись поступила в издательский отдел  
16 февраля 1979 года.